

کراشینگ دینامیکی پانل های هانی کمب

در اثر برخورد پرتابه های استوانه ای

همیدرضا داغیانی

دانشیار

دانشکده مهندسی مکانیک، دانشگاه صنعتی امیرکبیر

غلامحسین لیاقت

استاد

بخش مهندسی مکانیک، دانشکده مهندسی،

دانشگاه تربیت مدرس

علی علوی نیا

دانشجوی دکترای

بخش مهندسی مکانیک دانشکده مهندسی،

دانشگاه تربیت مدرس

مجتبی صدیقی

استادیار

دانشکده مهندسی مکانیک، دانشگاه صنعتی امیرکبیر

چکیده

در این مقاله، کراشینگ (crushing) پانل های هانی کمب (honeycomb) در اثر برخورد پرتابه های استوانه ای (که سطح مقطع آنها از ابعاد سلول های هانی کمب بزرگتر است) مورد بررسی قرار گرفته و با استفاده از روش انرژی، حداقل سرعت پرتابه برای مچاله شدن (densification)، یا کراشینگ کامل این پانل ها محاسبه شده است و معادلات بدست آمده با نتایج تجربی موجود، مقایسه گردیده اند. این مقایسه نشان می دهد که سازگاری خوبی بین نتایج تحلیلی و تجربی وجود دارد. بر اساس روابط بدست آمده در این مقاله حداقل سرعت پرتابه برای کراشینگ کامل پانل، بطور مستقیم با ضخامت دیواره های سلول، ضخامت پانل های کمب و استحکام تسلیم فشاری ماده هانی کمب، و به طور معکوس با اندازه سلول و جرم پرتابه متناسب است.

کلمات کلیدی

هانی کمب، کراشینگ، سازه سلولی، برخورد

Dynamic Crushing of Honeycomb Panels Under Impact of Cylindrical Projectiles

Gholam Hossein Liaghat

Professor

Mechanical Engineering Department,
Tarbiat Modarres University

Mojtaba Sadighi

Assistant Professor

Mechanical Engineering Department,
Amirkabir University of Technology

Hamid Reza Daghyani

Associate Professor

Mechanical Engineering Department,
Amirkabir University of Technology

Ali Alavinia

Ph.D. Student

Mechanical Engineering Department,
Tarbiat Modarres University

Abstract

In this paper crushing of honeycomb panels subjected to impact of cylindrical projectiles is studied and the minimum velocity of projectile required for densification of panel is analytically determined. This study shows that the minimum impact velocity needed for panel densification is directly proportional to the cell wall thickness, the panel thickness and compressive yield strength of honeycomb material; and is inversely proportional to the cell size and projectile's mass. These results are in good agreement with the available experimental data.

Keywords

Honeycomb, Crushing, Cellular structure, Impact.

مقدمه

سازه‌های جدار نازک طوری طراحی می‌شوند که قابلیت تحمل بارهای را داشته باشند که جابجایی‌های حاصل از اعمال این بارها، بسیار بیشتر از مقادیر متناظر با بارهای حدی کمانش باشد. از نظر ویژگی‌های جذب انرژی اعضای تحت فشار، مطلوب این است که خیزهای ایجاد شده در سازه چندین برابر بزرگ‌تر از ضخامت پوسته بوده و قابل مقایسه با طول و عرض مقطع باشند. خیزهای بزرگ در سازه‌هایی که از ورقهای فلزی ساخته شده‌اند با تشکیل تاخوردگی(folding) و پیچ و خمهای زیاد(wrinkling) رخ می‌دهند. از خصوصیات چنین مکانیزم تغییر شکلی این است که انرژی کرنشی (در پوسته‌های ارتجاعی) و یا نرخ انلاف انرژی (در پوسته‌های خمیری) در نواحی نسبتاً باریکی متمنکر است.

هانی کمب یکی از این سازه‌های جدار نازک است که از شبکه‌ای از سلول‌های باز(میان تهی) با دیواره‌هایی از ورقهای بسیار نازک تشکیل شده است. معمولاً سلول‌ها به شکل ۶ ضلعی منتظم هستند (شکل ۱)، اما به شکل‌های دیگر نیز ساخته می‌شوند. هانی کمب به دلیل برخورداری از ویژگی‌های منحصر به فرد از جمله خاصیت جذب انرژی زیاد، در مقیاس وسیعی به عنوان جاذب انرژی و ضربه‌گیر در برابر بارهای خارجی مورد استفاده قرار می‌گیرد. همچنین ورقهای ساندویچی با هسته‌های هانی کمب به خاطر سفتی و استحکام مخصوص بالا، در صنایع حمل و نقل و هوا فضا به کار می‌روند. پرههای روتور هلیکوپترها، بدنه کشتی، بدنه هواپیماها و پوسته‌های موتورهای جت از زمینه‌های کاربرد پانل‌های ساندویچی هستند. هانی کمب‌ها در وضعیت‌های مختلفی مورد اصابت پرتابه‌ها قرار می‌گیرند. خرابی حاصل از ضربه روی پانل می‌تواند از نفوذ سطحی رویه‌های ساندویچ تا عبور کامل پرتابه از پانل را در برگیرد. لذا مطالعه رفتار اینگونه سازه‌ها به علت کاربرد وسیع آنها در مقابل ضربه، از نظر مهندسی ضروری بنظر می‌رسد.

رفتار خرد شدن هانی کمب‌ها اولین بار توسط مک فارلند (Mc Farland)، [1]، مورد بررسی قرار گرفت. او یک مدل نیمه تجربی برای پیش‌بینی تنش خرد شدن سازه‌های با سلول ۶ ضلعی در اثر بارهای محوری پیشنهاد نمود. پس از او برای در نظر گرفتن تغییر فرم‌های خمشی و انساطی، این مدل توسط محققین دیگر توسعه داده شد. برای بررسی تحلیلی تغییر شکل‌های هانی کمب در بارهای شبه استاتیکی، ویرزبیکی (Wierzbicki)، المان زاویه ای (angle element) را معرفی نمود.[2] برای تحلیل خرد شدن محوری سطون‌های جدار نازک با مقطع چند ضلعی نیز از همین المان استفاده شد [3,4]. تعدادی از محققین هم رفتار هانی کمب‌ها در برابر بارهای شبه استاتیکی و ضربه ای را به صورت تجربی مورد بررسی قرار دادند [5-7]. نفوذ کامل (perforation) پرتابه‌های استوانه‌ای در ورقهای ساندویچی با هسته هانی کمب توسط پارک و فت (Fatt, Park) [8]، به صورت تحلیلی بررسی گردیده ولی در تحلیل هسته ساندویچ (یعنی هانی کمب)، از یک مدل نیمه تجربی استفاده شده است.

خرد شدن سازه‌های هانی کمب تحت بارهای شبه استاتیکی توسط نویسنده‌گان همین مقاله بررسی شده و ضمن تشریح مدل ویرزبیکی، یک مدل اصلاحی ارائه شده که نتایج حاصل از آن به مقادیر تجربی نزدیکتر است [9].

در این مقاله، خرد شدن دینامیکی پانل‌های هانی کمب فلزی در اثر برخورد پرتابه‌های استوانه‌ای مورد بررسی قرار گرفته و حداقل سرعت برخورد برای مچاله شدن هانی کمب به صورت تحلیلی محاسبه شده است. روابط بدست آمده در این تحلیل، سازگاری خوبی با داده‌های تجربی موجود نشان می‌دهند.

۱- محاسبه حداقل سرعت لازم برای کراشینگ کامل یک پانل هائی کمب

۱-۱- فرض‌ها

- ۱- رفتار هائی کمب به صورت صلب - خمیری کامل (solid-perfectly plastic) در نظر گرفته می‌شود.
- ۲- ضربه زننده (striker) به شکل استوانه بوده و دارای سطحی بزرگتر از سطح سلول است.
- ۳- مکانیزم‌های تغییر فرم هائی کمب، مشابه حالت شبه استاتیکی است.
- ۴- پس از برخورد، ضربه زننده برنمی‌گردد.
- ۵- در اثر برخورد، هائی کمب دچار کراشینگ کامل می‌شود.

۱-۲- محاسبه انرژی تلف شده در اثر خرد شدن یک المان زاویه‌ای (۲)

یک المان زاویه‌ای تحت بار محوری، در اثر سه مکانیزم تغییر شکل، انرژی را تلف می‌کند. بخشی از المان منبسط می‌شود، در بخش دیگری از آن مفصل‌های خمیری افقی تشکیل شده و حرکت می‌نمایند، و بالاخره در گوش المان مفاصل خمیری مایل ایجاد شده و با حرکت خود انرژی را جذب می‌نمایند. انرژی تلف شده در هر یک از این سه مکانیزم به صورت ذیل محاسبه می‌شود:

انرژی تلف شده در اثر انبساط

$$E_1 = \left(16 M_0 \frac{b}{h} H\right) I_1(\psi_0) \quad (1)$$

انرژی تلف شده در اثر حرکت مفصل خمیری افقی

$$E_2 = \pi M_0 C \quad (2)$$

انرژی تلف شده در اثر حرکت مفصل خمیری مایل

$$E_3 = \left(\frac{4 M_0 H^2}{b}\right) I_3(\psi_0) \quad (3)$$

چنانچه تکیه گاههای المان، گیردار در نظر گرفته شود. کل انرژی تلف شده در یک المان زاویه‌ای از رابطه زیر به دست می‌آید:

$$E_{AE} = E_1 + 2 E_2 + E_3 \quad (4)$$

اعمال ضریب ۲ برای E_2 به دلیل گیردار بودن لبه‌های بالا و پائین المان زاویه‌ای است. با جایگذاری مقادیر E_1 تا E_3 از روابط (۱) تا (۳) در رابطه (۴)، E_{AE} به دست می‌آید:

$$E_{AE} = 16 M_0 \frac{b}{h} H I_1 + 2\pi M_0 C + 4 M_0 \frac{H^2}{b} I_3 \quad (5)$$

۱-۳- انرژی تلف شده در یک سلول ۶ ضلعی از ورق هائی کمب

با توجه به مدل جدید ارائه شده برای خرد شدن هانی کمب در بارهای شبه استاتیکی، [9] ، یک واحد سلولی در هانی کمب از ۶ المان زاویه‌ای و یک المان ورقی تشکیل می‌شود (شکل ۲). انرژی صرف شده برای تغییر شکل المان ورقی برابر است با:

$$E_4 = 4M_0 \pi C \quad (6)$$

بنابراین کل انرژی اتلافی در یک واحد سلولی از پانل هانی کمب برابر است با:

$$E_{cell} = 6E_{AE} + 2E_4 \quad (7)$$

در نتیجه:

$$E_{cell} = M_0 \left\{ 96H \frac{b}{h} I_1 + 20\pi C + 24 \frac{H^2}{b} I_3 \right\} \quad (8)$$

۱-۴- تعادل انرژی

انرژی جنبشی پرتابه‌ای به جرم m که با سرعت V با پانل برخورد می‌نماید برابر است با:

$$E_p = \frac{1}{2} m V^2 \quad (9)$$

چنانچه تعداد چین خوردگی‌های حاصل از برخورد برابر n باشد بر اساس تعادل انرژی، برای خرد شدن کامل پانل هانی کمب، به صورتی که پرتابه نیز متوقف شود (سرعت آن به صفر برسد) می‌توان نوشت:

$$\frac{1}{2} m V^2 = M_0 \left\{ 96H \frac{b}{h} I_1 + 20\pi C + 24 \frac{H^2}{b} I_3 \right\} n \quad (10)$$

حال با تعریف پارامتر Z به صورت:

$$z = \frac{mV^2}{M_0} \quad (11)$$

رابطه (10) را می‌توان چنین نوشت:

$$z = \frac{mV^2}{M_0} = \left\{ 192 \frac{b}{h} H I_1 + 40\pi C + 48 \frac{H^2}{b} I_3 \right\} n \quad (12)$$

برای ساده شدن روابط فرض می‌شود که:

$$\begin{aligned} d_1 &= 192 I_1 \\ d_2 &= 40\pi \\ d_3 &= 48 I_3 \end{aligned} \quad (13)$$

در نتیجه:

$$z = \frac{mV^2}{M_0} = \left\{ d_1 \frac{b}{h} H + d_2 C + d_3 \frac{H^2}{b} \right\} n \quad (14)$$

۱-۵- حل معادله (۱۴) با استفاده از اصل حداقل نمودن انرژی و ضرائب لاغرانژ

در رابطه (۱۴) کمیت‌های n , H , b و Z و بر اساس رابطه ۱۱ مقدار V مجھول هستند. برای تعیین این مجھولات از شرایط حداقل‌سازی (minimizing) به شرح ذیل استفاده می‌شود.

چنانچه Δ ضخامت پالل باشد، می‌توان نوشت:

$$2H = \frac{\Delta}{n} \quad (15)$$

تابع g به صورت زیر در نظر گرفته می‌شود:

$$g = 2H - \frac{\Delta}{n} \quad (16)$$

و تابع f با استفاده از ضرائب لاغرانژ، چنین تعریف می‌شود:

$$f = Z - \lambda g \quad (17)$$

با جایگذاری از روابط (۱۴) و (۱۶) در رابطه (۱۷) :

$$f = n \left\{ d_1 \frac{b}{h} H + d_2 C + d_3 \frac{H^2}{b} \right\} - \lambda \left(2H - \frac{\Delta}{n} \right) \quad (18)$$

شرایط حداقل‌سازی مستلزم این است که:

$$\frac{\partial f}{\partial H} = 0 \quad (19)$$

$$\frac{\partial f}{\partial b} = 0 \quad (20)$$

$$\frac{\partial f}{\partial \lambda} = 0 \quad (21)$$

$$\frac{\partial f}{\partial n} = 0 \quad (22)$$

بر اساس روابط (۱۹) تا (۲۲) به ترتیب معادلات زیر حاصل می‌شود:

$$nd_1 \frac{b}{h} + 2nd_3 \frac{H}{b} - 2\lambda = 0 \quad (23)$$

$$nd_1 \frac{H}{h} - nd_3 \frac{H^2}{b^2} = 0 \quad (24)$$

$$2H - \frac{\Delta}{n} = 0 \quad (25)$$

$$d_1 \frac{b}{h} H + d_2 C + d_3 \frac{H^2}{b} - \frac{\lambda \Delta}{n^2} = 0 \quad (26)$$

نتیجه حل همزمان این ۴ معادله، عبارت است از:

$$b = \sqrt[3]{\frac{d_2 d_3}{d_1^2} C h^2} \quad (27)$$

$$H = \sqrt[3]{\frac{d_1^2}{d_1 d_3} C^2 h} \quad (28)$$

$$n = \frac{\Delta}{2} \sqrt[3]{\frac{d_1 d_3}{d_1^2} \cdot \frac{1}{C^2 h}} \quad (29)$$

و با قرار دادن این نتایج در معادله (۱۴)، V به دست می‌آید:

$$V = \sqrt{\frac{3\Delta M_0}{2m}} \sqrt[6]{d_1 d_2 d_3 \frac{C}{h}} \quad (30)$$

از آنجا که:

$$M_0 = \frac{\sigma_0 h^2}{4} \quad (31)$$

و با فرض ثابت بودن تنش تسلیم (مانند حالت شبه استاتیکی)، رابطه (۳۰) به صورت زیر در می‌آید:

$$V = \sqrt{\frac{3\Delta\sigma_0}{8m}} \sqrt[6]{d_1 d_2 d_3 C h^5} \quad (32)$$

مقادیر I_1 و I_3 برای المان زاویه‌ای با زاویه 60° درجه برابرند با [9] :

$$\begin{aligned} I_1 &= 1.04 \\ I_3 &= 2.39 \end{aligned} \quad (33)$$

با جایگذاری این مقادیر در روابط (13) نتیجه می‌شود:

$$\begin{aligned} d_1 &= 199.68 \\ d_2 &= 125.66 \\ d_3 &= 114.72 \end{aligned} \quad (34)$$

و با اعمال این مقادیر در روابط (27) تا (30)، معادلات زیر حاصل می‌شود:

$$b = 0.712 \sqrt[3]{C h^2} = 0.593 \sqrt[3]{S h^2} \quad (35)$$

$$H = 0.883 \sqrt[3]{C^2 h} = 0.612 \sqrt[3]{S^2 h} \quad (36)$$

$$n = 0.566 \Delta / \sqrt[3]{C^2 h} = 0.817 \Delta / \sqrt[3]{S^2 h} \quad (37)$$

$$V = 7.3 \sqrt{\frac{\Delta\sigma_0}{m}} \sqrt[6]{C h^5} = 6.663 \sqrt{\frac{\Delta\sigma_0}{m}} \sqrt[6]{S h^5} \quad (38)$$

رابطه (38)، حد اقل سرعت مورد نیاز برای آنکه در اثر برخورد، کراشینگ کامل ایجاد شود را نشان می‌دهد. روابط بدست آمده، برای زمانی معتبر است که سطح مقطع پرتابه و سلول برابر باشد، حال چنانچه تعداد سلول‌های تحت برخورد برابر n_A باشد، انرژی مصرفی به منظور ایجاد تغییر شکل، n_A برابر و سرعت لازم برای برخورد، $\sqrt{n_A}$ برابر خواهد شد. به عبارت دیگر در حالت کلی حد اقل سرعت برخورد برابر است با:

$$V_{\min} = 7.3 \sqrt{\frac{\Delta n_A \sigma_0}{m}} \sqrt[6]{C h^5} = 6.663 \sqrt{\frac{\Delta n_A \sigma_0}{m}} \sqrt[6]{S h^5} \quad (39)$$

۲- محاسبه n_A

همان‌گونه که عنوان شد، n_A نسبت سطح مقطع پرتابه بر سطح ظاهری یک سلول هانی کمب، (سطحی که در شکل ۳ حدود آن با خطوط مقطع مشخص شده است)، می‌باشد. بنابراین می‌توان نوشت:

$$n_A = \frac{\pi}{4} \frac{D^2}{\sqrt{3} S^2}$$

$$n_A = 0.453(D/S)^2 \quad (40)$$

با جایگذاری از رابطه (۴۰) در رابطه (۳۹) نتیجه برابر است با:

$$V_{\min} = 4.916(D/S) \sqrt{\frac{\Delta\sigma_0}{m}} \sqrt{C h^5} \quad (41)$$

اگر به جای ضلع سلول، C ، از اندازه قطر کوچک آن، S ، استفاده و جرم پرتا به به صورت ذیل در نظر گرفته شود:

$$m = \frac{\pi}{4} \rho_p D^2 l$$

رابطه (۴۱) به صورت ذیل در می‌آید:

$$V_{\min} = 5.063 \left(\frac{h}{S}\right)^{\frac{5}{6}} \sqrt{\frac{\Delta\sigma_0}{\rho_p l}} \quad (42)$$

۳ - مقایسه با نتایج تجربی

در کارهای انجام شده توسط وو و جیانگ (Wu and Jiang) [10]، شش نمونه از پانل‌های هانی کمب، تحت آزمایش‌های شبه استاتیکی و دینامیکی قرار گرفته‌اند. مشخصات این نمونه‌ها در جدول (۱) ارائه شده‌اند. ضخامت دیوارهای سلول در همه نمونه‌ها، برابر ۲۵۴/۰ میلیمتر بوده است.

پرتا به‌های مورد استفاده، استوانه‌هایی از جنس آلیاژ تیتانیوم به قطر ۸۵/۲۴ و طول ۴۵ میلیمتر و جرم ۳۰/۳۹ گرم بوده‌اند. پرتا به‌ها با سرعت‌های مختلفی به هر نمونه برخورد نموده‌اند و در هر مورد میزان کراشینگ (مقدار کاهش طول نمونه‌ها در اثر فشردنگی) ایجاد شده، متفاوت با موارد دیگر بوده است. به منظور تطبیق مناسبتر شرایط، در اینجا بالاترین سرعت برخورد با هر نمونه مبنا گرفته شده است. نتایج تست‌های دینامیکی در جدول (۲) آورده شده است.

با توجه به اینکه در این آزمایشها، سرعت‌های برخورد به حدی نبوده است که منجر به کراشینگ کامل پانل‌ها شود، واز طرف دیگر رابطه (۴۲) حداقل سرعت برخورد برای کراشینگ کامل را به دست می‌دهد، و با عنایت به اینکه میزان کراشینگ کامل حدود ۷۰ درصد ضخامت پانل می‌باشد، [11]، فرض می‌شود که ضخامت پانل‌های مورد استفاده در این تست‌ها برابر (۰/۰۷۰) (میزان کراشینگ در هر آزمایش) باشد. حال با این تصور که ضخامت پانل‌ها معلوم است، از رابطه (۴۲) سرعت لازم برای کراشینگ کامل محاسبه می‌شود.

در جدول (۳) سرعت‌های تحلیلی بدست آمده بر اساس رابطه (۴۲) با مقادیر تجربی مقایسه و درصد خطا در هر مورد نیز تعیین شده است.

همان‌گونه که جدول (۳) نشان می‌دهد، نتایج حاصل از روش تحلیلی، (رابطه ۴۲)، با تقریب خوبی حداقل سرعت خرد شدن کامل را پیش‌بینی می‌نماید. در شکل (۴)، نتایج جدول (۳) به صورت نمودار نشان داده شده است.

۴ - نتایج و بحث

در این مقاله، حداقل سرعت لازم برای خرد شدن کامل یک پانل هانی کمب، در اثر برخورد پرتا به‌های استوانه‌ای، با استفاده از روش انرژی محاسبه شد. اساس کار بر این فرض استوار بود که تمام انرژی جنبشی قبل از برخورد پرتا به، در اثر

چین خوردگی پانل های کمب، به صورت کار خمیری بر روی دیوارهای سلول ها، تلف می شود. سپس با استفاده از ضرائب لاگرانژ، حداقل سرعت برخورد، برای خرد شدن کامل سلول ها محاسبه گردید. به منظور محاسبه کار خمیری تلف شده، از مدل جدید ارائه شده در مقاله "کراشینگ سازه های هانی کمب آلومینیومی تحت بارهای شبیه استاتیکی" [۹] استفاده شد که حاصل آن رابطه (۴۲) بود. مقایسه این روابط با نتایج تجربی، (شکل ۴)، نشان داد که این رابطه با دقت خوبی، می تواند حداقل سرعت برخورد لازم برای کراشینگ کامل را پیش بینی نماید.

وجود اختلاف بین نتایج تئوری و تجربی می تواند دلایل مختلفی داشته باشد. از جمله می توان به موارد ذیل اشاره نمود:

۱- اعمال فرضیات ساده کننده در تحلیل مسئله،

۲- تقریب در محاسبه انرژی المان ورقی (رابطه ۶)- این المان به صورت ورقی با ضخامت $2h$ در نظر گرفته شده در حالی که از دو ورق با ضخامت های h تشکیل شده است، انرژی لازم برای تغییر شکل یک ورق با ضخامت $2h$ برابر $4M_0\pi c$ می باشد، در حالی که این انرژی برای دو ورق با ضخامت های h ، معادل $2M_0\pi c$ است (به خاطر تفاوت لنگر خمیری کامل آنها). انرژی واقعی المان ورقی بین این دو حد قرار دارد.

۳- تقریب در برآورد حداقل فاصله کراشینگ - این کمیت معادل ۷۰٪ ضخامت پانل های کمب در نظر گرفته شده [11]، در صورتی که در بعضی از منابع بین ۷۳٪ تا ۷۷٪ ذکر شده است [12].

۵- نتیجه گیری

رابطه (۴۲) نشان می دهد که حداقل سرعت برخورد برای کراشینگ کامل:

اولاً با استحکام تسلیم فشاری ماده های کمب متناسب است که امری بدیهی به نظر می رسد.

ثانیاً با جرم پرتابه نسبت معکوس دارد چون هر چه پرتابه سنگین تر باشد انرژی جنبشی آن بیشتر بوده و در نتیجه با پرتابه های سنگین تر، با سرعت کمتری می توان انرژی جنبشی لازم برای تسلیم نمودن پانل های کمب را فراهم نمود.

ثالثاً با ضخامت دیوارهای سلول متناسب است، زیرا هر چه ضخامت دیواره ها بیشتر باشد انرژی تلف شده در آنها در اثر تغییر شکل خمیری افزایش می یابد، چون تغییر شکل های ایجاد شده در سلول ها عمدتاً در اثر خمش صورت می گیرد که آن هم به نوبه خود به لنگر دوم مساحت مقطع (که تابعی از ضخامت دیواره است) بستگی دارد.

رابعماً با اندازه سلول نسبت عکس دارد، زیرا افزایش اندازه سلول به معنی کاهش تعداد المان های زاویه ای مورد برخورد است که نتیجه آن کاهش اتلاف انرژی می باشد.

خامسماً با ضخامت پانل های کمب متناسب است زیرا افزایش Δ تعداد المان های زاویه ای در ضخامت پانل و در نتیجه انرژی مورد نیاز برای تغییر شکل را افزایش می دهد و برای تامین این انرژی پرتابه باید سرعت اولیه بیشتری داشته باشد.

فهرست علائم

A: سطح مقطع

A_i : ضرائب ثابت

b: شعاع سطح انبساط توروئیدی

C: ضلع سلول های کمب

D: قطر پرتابه

d_i : ضرائب ثابت

E_i : انرژی

E_{AE} : انرژی تلف شده در یک المان زاویه ای

E_{cell} : انرژی تلف شده در یک واحد سلولی

Z,y,g,f: توابع

S: اندازه سلول

H: نصف طول موج کمانش خمیری

h: ضخامت دیواره سلول های کمب

I_i : مقادیر عددی انتگرال های انرژی

k_i : ضرائب ثابت

l: طول پرتابه

m: جرم پرتابه

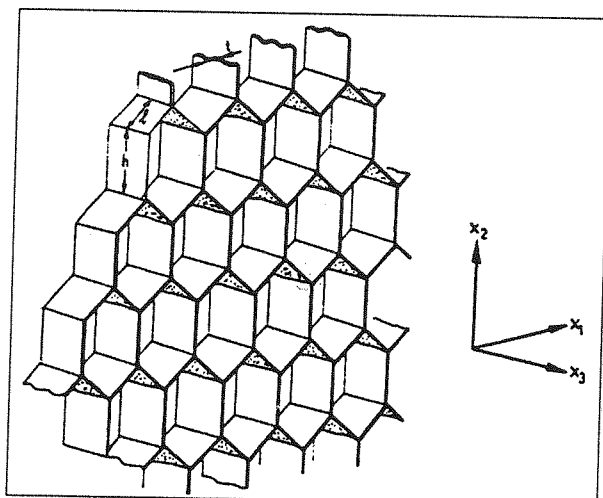
M_0 : لنگر خمیری کامل

n: تعداد چین خوردگی ها در ضخامت های کمب

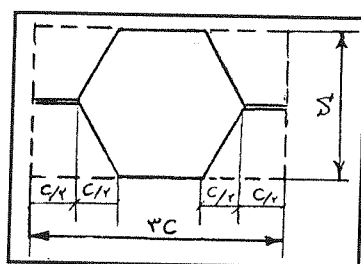
n_A : نسبت سطح مقطع پرتابه به سطح سلول

s

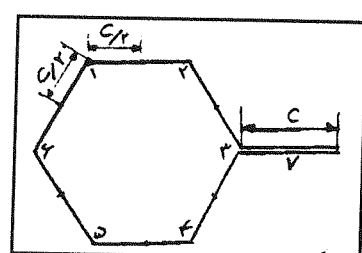
- ρ_p : چگالی پرتابه
 σ_0 : استحکام تسلیم استاتیکی ماده هانی کمب
 ψ_0 : نصف زاویه المان زاویه‌ای
 V : سرعت پرتابه
 λ : ضریب لاغرانژ
 Δ : ضخامت پانل هانی کمب
 ρ : چگالی هانی کمب



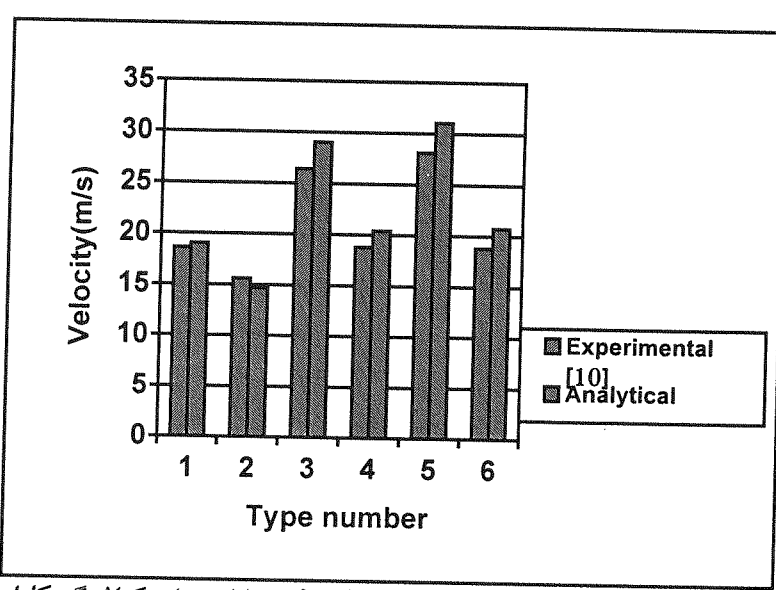
شکل (۱) هانی کمب با سلول های ۶ ضلعی.



شکل (۲) سطح کل یک واحد سلولی در هانی کمب.



شکل (۳) واحد سلولی مرکب از ۷ المان



شکل (۴)- مقایسه حداقل سرعت های تجربی [۱۰] و تحلیلی برای کواشینگ کامل.

جدول (۱) مشخصات هانی کمب های مورد استفاده در آزمایش های مرجع [۱۰].

استحکام تسلیم (Mpa)	استحکام نهائی (Mpa)	ضخامت پانل (mm)	چگالی (kg/m3)	مشخصات هانی کمب		شماره نمونه
				آلیاژ	سایز سلول (mm)	
۲۵۵	۲۹۰	۳۵/۷	۴۹/۶۵۶	AL5052	۴/۷۶۳	۱
۲۵۵	۲۹۰	۱۲/۷	۴۹/۶۵۶	AL5052	۴/۷۶۳	۲
۲۵۵	۲۹۰	۲۵/۴	۷۲/۰۸۱	AL5052	۳/۱۷۵	۳
۲۵۵	۲۹۰	۱۴/۳	۷۲/۰۸۱	AL5052	۳/۱۷۵	۴
۳۴۵	۴۱۵	۲۰/۷	۷۲/۰۸۱	AL5056	۳/۱۷۵	۵
۳۴۵	۴۱۵	۱۰	۷۲/۰۸۱	AL5056	۳/۱۷۵	۶

جدول (۲) نتایج تست های دینامیکی [۱۰].

حداکثر کراشینگ (mm)	سرعت برگشت (m/s)	سرعت برخورد (m/s)	تعداد سلول های مورد برخورد	شماره نمونه
۱۴/۹۵	۱/۵۳	۱۸/۵۹	۱۰	۱
۸/۸۹	۱/۶۲	۱۵/۶۳	۱۰	۲
۱۸/۴۶	۲/۴۰	۲۶/۴۰	۱۹	۳
۸/۷۵	۱/۶۵	۱۸/۷۸	۱۹	۴
۱۴/۹۷	۲/۵۹	۲۸/۱۴	۲۳	۵
۶/۶۸	۲/۳۱	۱۸/۸۱	۲۳	۶

جدول (۳) مقایسه سرعت های برخورد تجربی [۱۰] و تئوری و درصد خطای نسبت به مقدار تجربی.

درصد خطای	سرعت برخورد تحلیلی (m/s)	سرعت برخورد تجربی (m/s)	شماره نمونه
۲/۴	۱۹/۰۴	۱۸/۵۹	۱
-۶/۱	۱۴/۶۸	۱۵/۶۳	۲
۱۰	۲۹/۰۵	۲۶/۴۰	۳
۸/۷	۲۰/۳۱	۱۸/۷۸	۴
۱۰/۴	۳۱/۰۶	۲۸/۱۴	۵
۱۰/۳	۲۰/۷۵	۱۸/۸۱	۶

مراجع

- [1] McFarland,R., K. Jr., "Hexagonal cell structures under post-buckling axial load", *AIAA Journal*, 1963, 1(6), pp.1380-1385.
- [2] Wierzbicki, T., "Crushing analysis of metal honeycombs", *Int. J. Impact Engng.*, 1983, 1(2), pp.157-174.
- [3] Gibson, L.J., Ashby,M.F.,Schajer,G.S. and Robertson, C.I., "The mechanics of two dimensional cellular materials", *proceedings of the Royal Society of London A*, 1982, 382, pp.25-42.
- [4] Gibson,L.J.and Ashby, M.F., "Cellular solids,structure and properties", Pergamon Press, Oxford, 1988.
- [5] Wierzbicki, T. and Abramowicz, W. , "On the crushing mechanics of thin-walled structures", *ASME Journal of Applied Mechanics*, 1983, 50, pp.727-734.
- [6] Wu,E and Jiang,W., "Axial crush of metallic honeycombs", *Int. J. Impact Engng.*, 1997, 19(5/6), pp.439-456.
- [7] Abramowicz, W. and Wierzbicki, T., "Axial crushing of multicorner sheet metal columns", *ASME Journal of Applied Mechanics*, 1989, 56, pp.113-120.

- [8] Hoo Fatt, M.S. and Park,K.S., "Perforation of honeycomb sandwich plates by projectiles", *Composites, Part A: applied science and manufacturing*, 2000, 31, pp.889-899.
- ۹- لیاقت، غ.، صدیقی، م.، داغیانی، ح. و علوی نیایع. خرد شدن سازه های هانی کمب فلزی تحت بارهای شبه استاتیکی، ارائه شده به نشریه دانشکده فنی دانشگاه تهران؛ مرداد ۱۳۸۰.
- [10] Wu, E and Jiang, W., "Axial crush of metallic honeycombs", *Int. J. Impact Engng.*, 1997, 19(5/6), pp.439-456.
- [11] Abramowicz, W., "The effective crushing distance in axially compressed thin-walled metal columns", *Int. J. Impact Engng.*, 1983, 1 (3), pp.309-317.
- [12] Abramowicz, W, and Jones, N., "Dynamic axial crushing of square tubes", *Int. J. Impact Engng.*, 1984, 2 (2), pp.179-208.